

九州大学工学部 正員 植 東一郎

○学生員 吉岡邦明

○学生員 和佐野貞利

1. 緒言

河岸の相互侵食に基づく河川蛇行部では、又次流のために弯曲外側に深掘れ、内側に堆積部を生ずることはよく知られている。本下は河川直線部に於ても砂礫堆が発生・形成されるために、洪水流は蛇行しながら流れることを河川観測および水理実験によって確かめている。

従って、河川の河床は、河幅・流量・流出土砂量ならびに底質条件に規定される、次元的な平均河床 — 河幅の変化に応じて平均勾配のゆきりに鋸の歯のような凹凸に富むものであるが — の上に、横断的には①蛇行による束縛された深掘れ ②移動する砂礫堆による凹凸 ③その他各種のrandom成分が存在する。従って、例えば横断的に深掘れ量やその位置などを眺めるとき、河床は上記諸要素が重なり合った複雑な性状を呈することになる。

本文は、筑後川の低水路を例として、河幅や蛇行などの河川形態とそれに応答する河床形態との関連性を実態的に実明することを試みたものである。

2. 筑後川の資料とその整理

河川資料としては、砂利採取などによって人為的に惹されていないものである必要から、昭和30年筑後川工事事務所によって100m間隔に測定された平面図、横断図を用いた。調査の対象とした区間は、河口より20km～50kmの30kmの範囲である。

河川の蛇行状態を量的に表示するものとして、平面図に於ける低水路中心線の曲率半径 R から算出される曲率 $1/R$ を用いる。この符号については図-Iに示す。

次に河床形態の表示については、横断面図から低水路幅 b と平均河床(低水路の)を求め、平均河床からの最大深掘れ量 Z_m 、最大堆積高 Z_p および低水路中心線からの各々の位置 b_i 、 Z_i を用いる。更に河岸より0.1倍だけは離れた点、0.4倍と-0.4倍に於ける深掘れ又は堆積を $Z_{0.1}$ 、 $Z_{0.4}$ とすると、これは図-IIに示す通りである。

これら筑後川低水路の河川形態及び河床を代表する諸量の分布を河川延長方向に整理したものが図-IIIである。尚、後の考察のための便宜上、この図-IIIの波から、zero up cross法による諸量の平均波長と平均値を表-Iにまとめた。

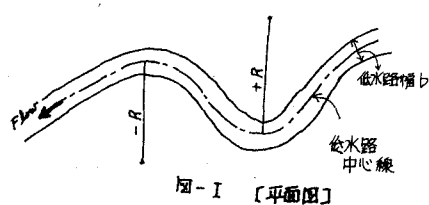


図-I [平面図]

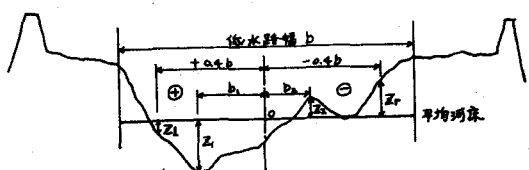
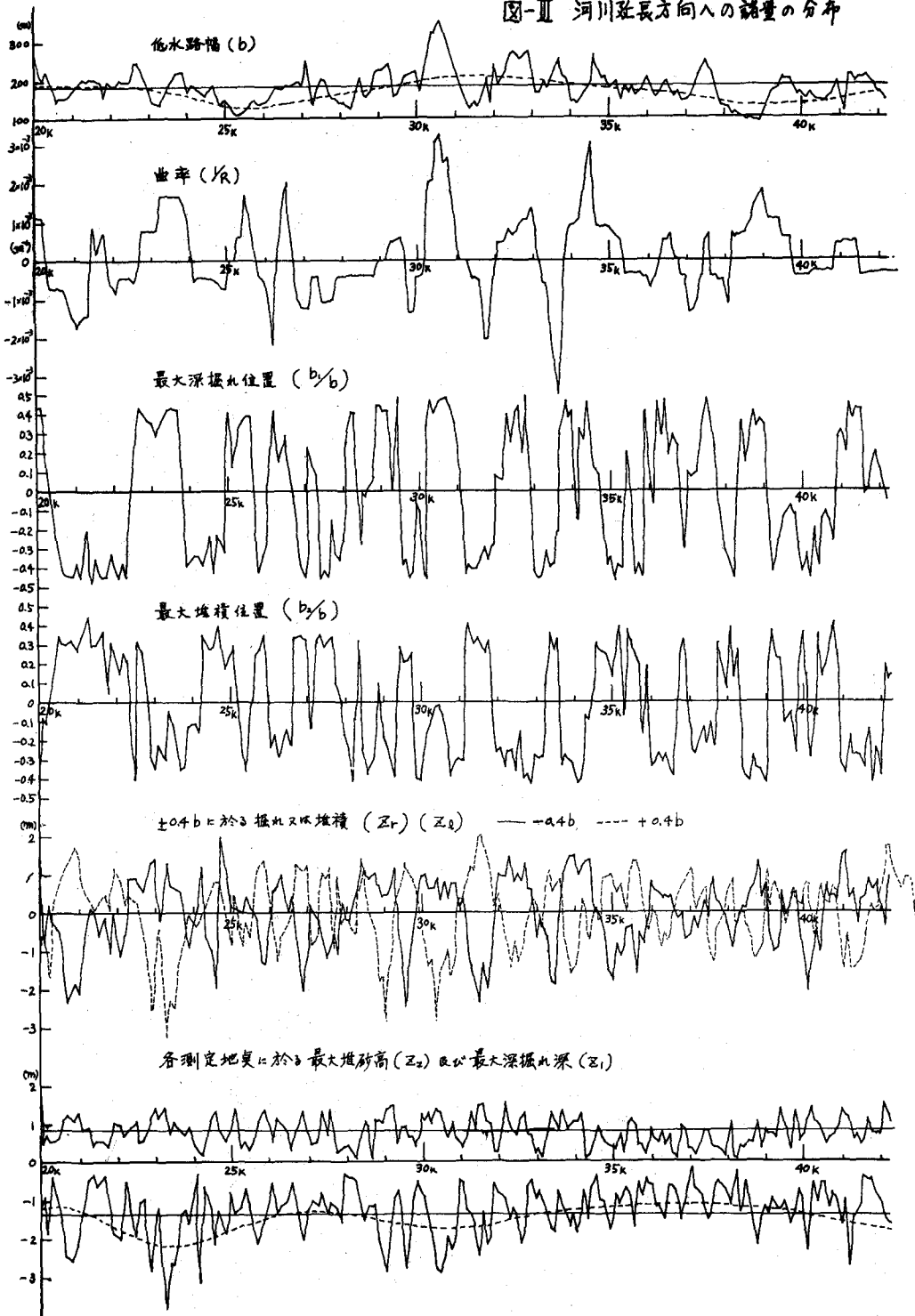
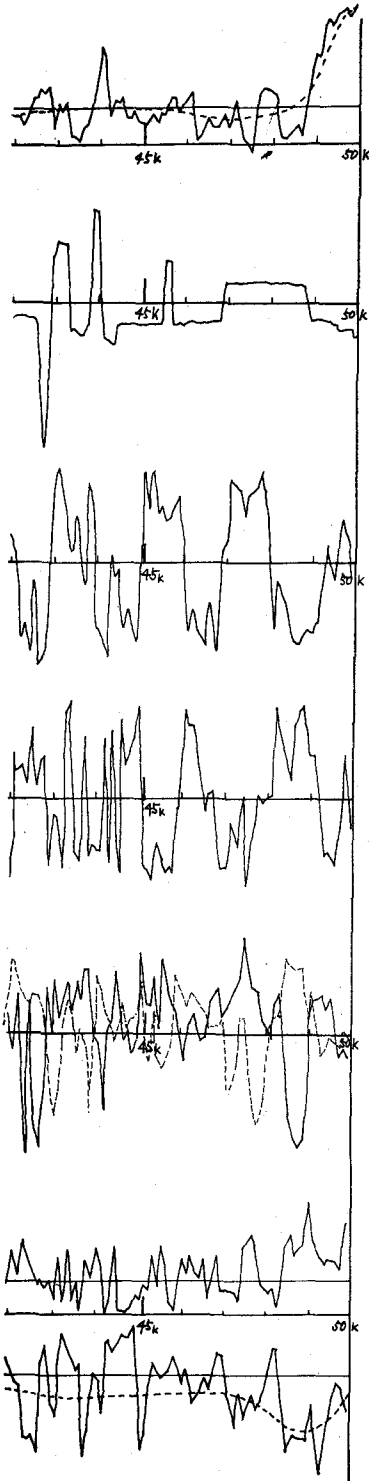


図-II [横断面図]

図-II 河川延長方向への諸量の分布





曲率 川幅 1/k	深さ 位置 Z1	堆積 位置 Z2	表-1		0.4k の深さ Z1	-0.4k の深さ Z2		
			深さ 位置 Z1	堆積 位置 Z2				
平均波長 [km]	1.74	0.75	1.62	0.95	0.66	0.63	0.90	0.93
平均値			1.88 ^m		1.41 ^m	0.79 ^m		

3. 結果についての考察

図一 直より、筑後川低水路の河川形態と河床についての概観的な性質と関連性について述べると次の様である。

(1) 低水路幅の平均波長は 0.80 KM であるが、低周波の波としては 25.5 KM, 39 KM に極小値をもつ波長 14.5 KM の波から、高周波側では sampling 間隔の 2 倍 200 m の波長をかなり含む広い波数帯から構成されている。

図は省略したが、河幅の変化は平均河床高の変化を忠実に反映している。すなわち、平均河床高の平均勾配 (trend) のすわりに鋸の歯の様に変動している凸部及び凹部は、それが河幅の山、谷（拡大部、狭さく部）に対応している。

蛇行曲率；低水路では直線部が意外に少なく、小曲率の円弧の接続による蛇行型と曲率の大きい S 字状の形態の蛇行型及び両者の中间型をきえている。平均波長は低水路幅平均の約 9.2 倍、全河幅平均の 4.7 倍である。

(2) 上述の河川形態に応ずる河床は、蛇行による変動とおそらく砂礫堆の存在によるものと思われる波長 500 m 程度（低水路幅の約 2.5 倍）の波、及び更に高周波の波が重なり合ったものである。蛇行（曲率）との関連性は深掘れの位置 $\frac{1}{k}$ が最も良く、0.4 k および -0.4 k における深さ Z_1, Z_2 、堆積位置 $\frac{1}{k}$ がこれに次ぎ、深掘れとの相関は最も小さい。すなわち、正負の曲率の peak はそれを $\frac{1}{k} = 0.4, -0.4$ に対応し、いずれも殆んど例外なしに弯曲外側の岸近くに深掘れ位置が存在していて、曲率と深掘れの位置との応答は明瞭である。

(3) 0.4 k および -0.4 k における深さ Z_1, Z_2 の分布は、高周波の random 成分で乱されてはいるが曲率との間にかなりの関係が認められる。又この分布の上に波長 500 m 程度の波紋のつており、砂礫堆との関連があるようと思える。

これらの平均波長はほぼ $\frac{1}{k}$ で相葉しく、かく逆相関の分布をしており両岸に交互に深掘れが存在しているのがわかる。

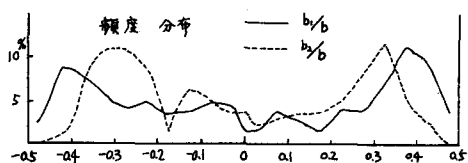
(4) 深掘れ量については、曲率の正負両 peak 位置(半波長)ごとにかなりの深掘れ量を予想していたのであるが、両者の間には量的な関係は認められない。また蛇行半波長(平均 0.87 km)と砂礫堆の波長との差が少ないことも影響して位置の関連性も顕著ではない。

单断面の河川では曲率と深掘れ量との間に、かなりの相関が予想されるので、これらのことば筑後川の断面形が複断面であって、洪水時の流れは断面全体を直進する傾向を持ち低水路蛇行からは離ることや高水敷からの土砂の補給があることなどが考えられる。基本的には複断面河川弯曲部における乙次流や河床変動について実験的に明らかにしてゆくことが必要である。

又、筑後川の例では深掘れ量は曲率よりもむしろ低水路幅の長波長成分に規定され、低水路幅の谷(極小値)にあたる 26 km, 39 km で深掘れは小さく、山にあたる 32 km, 45 km では深掘れが大きい傾向が認められる。これは、低水路幅の小さい所では水流の蛇行性が規制され構造的に河床は安定であるが、低水路幅が大きくなるにつれて水流の蛇行性が活発になり一方に深掘れ、他方に堆積が生ずることに起因すると思われる。低水路の安定のために妥当なその幅を水理学的に決めることは現状では未解決であるが、低水路幅と深掘れ量との関係はこの問題に対して重要であり、今後多くの河川について検討してゆく予定である。

(5) 河川断面図における深掘れ部、堆積部位の頻度分布曲線及び両者の量の頻度分布曲線を同一図に示した。位置については両者とも河川中央部は一様分布に近いが、堆積位置は 0.3, -0.3 付近に、深掘れ位置は 0.4, -0.4 付近に集中する傾向がある。これらは低水路維持の上で注意すべきことであろう。

図-IV



終りに、以上の考察を定量的に行うため、各量の自己相関係数、power spectrum 及び各量間の相互相関関数及びスペクトルを計算している。結果については講演時に述べたい。